

شبیه‌سازی الگوریتم الگوی حرکت ذرات رسوبی رودخانه سد اکباتان با استفاده از مدل عددی فلوئنت

علیرضا ایلدرمی* - دانشیار گروه مهندسی طبیعت، دانشکده منابع طبیعی و محیط زیست، دانشگاه ملایر.

پذیرش مقاله: ۱۴۰۰/۱۰/۲۲
تایید نهایی: ۱۴۰۱/۰۳/۱۸

چکیده

در سال‌های اخیر ضرورت استفاده از مدل‌های چند فازی عددی جهت تفکیک و شبیه‌سازی رسوبات بستر و بار معلق رودخانه‌ها بسیار مورد توجه قرار گرفته است. هدف از این بررسی، شبیه‌سازی الگوریتم حرکت و تهشیینی ذرات رسوبی رودخانه یلغان سد اکباتان همدان با استفاده از مدل عددی چند فازی فلوئنت و کانال شیشه‌ای آزمایشگاهی است. لذا در این تحقیق از روش گسترش‌سازی مرتبه دوم مدل فلوئنت جهت تفکیک بار بستر و معلق، از اعداد تنفس رینولدز به منظور تعیین آستانه حرکت و جهت تحلیل الگوی حرکتی و تهشیینی ذرات رسوبی در تیوب‌های مختلف جریان در کانال شیشه‌ای آزمایشگاهی، از نرم‌افزارهای فلوئنت و آکوباس استفاده گردید. نتایج شبیه‌سازی نشان داد که قسمت اعظم بار رسوبی شن ریز و سیلت در کانال آزمایشگاهی توسط نیروی بالا برند سافمن در تیوب دوم جریان حمل می‌شود. بررسی‌ها نشان می‌دهد که به دلیل وجود خطوط هم فشار و ایجاد جریان و سرعت ثابت در تیوب دوم جریان، بار رسوبی معلق در بستر رودخانه در طول سال تا مخزن سد حمل می‌شود و حجم عمدۀ مخزن طی این فرآیند توسط رسوبات شن ریز و سیلت پر شده است. بررسی میزان درصد خطای اندازه‌گیری شده بیانگر تطابق بالای مدل فلوئنت با داده‌های اندازه‌گیری شده در شرایط آزمایشگاهی می‌باشد و نشان می‌دهد که مدل در شبیه‌سازی حرکت ذرات رسوبی با قطرهای مختلف از توانایی و دقت بسیار خوبی برخوردار است. همبستگی نتایج آزمایشگاهی و مدل فلوئنت در مجموع بیش از ۹۷ درصد است و نشان می‌دهد که مدل فلوئنت با دقت بسیار بالا و قابل قبول حمل، انتقال و ترسیب رسوبات با دامنه‌ای از رنج‌های مختلف را به خوبی شبیه‌سازی کرده است.

واژگان کلیدی: بار معلق، سرعت تهشیینی، تیوب جریان، ذرات رسوبی، سد اکباتان.

مقدمه

بررسی و شناخت مکانیسم‌های کنترل کننده فرآیند انتقال رسوب و تحلیل دقیق جریان، ناشی از بر هم‌کنش‌های فازهای جامد و مایع در جریان سیالات کار مشکل و پیچیده‌ای است (ایلدرمی و همکاران، ۱۳۹۵). چرا که بیشتر مدل‌ها، تحلیل انتقال ظرفیت رسوب بار بستر و معلق را به صورت جداگانه بررسی نموده و برای پیش‌بینی معمولاً از روش‌های نیمه تجربی استفاده می‌کنند و به دلیل اینکه جزئیات مکانیسم‌های کنترل کننده فرآیند انتقال رسوب را به خوبی نمایش و تحلیل نمی‌کنند، فاقد کاربردهای لازم می‌باشد^۱(اودا، ۲۰۱۹). بررسی‌ها نشان می‌دهد که پدیده انتقال رسوب، حاصل یک جریان دو فازی جامد-مایع و اثرات متقابل بین آنهاست که حتی در شرایط عادی روش‌های تک فازی قادر به مدل‌سازی اثرات متقابل بین این دو فاز نبوده و ثابت شده که مدل‌های اولیه دو فازی جدید نیز امکان تحلیل و مدل‌سازی کامل اثرات متقابل بین ذره و نوسانات آشفتگی را ندارند (طاهر شمسی، ۱۳۸۸) بنابراین استفاده از مدل‌های چند فازی عددی در تحلیل و شبیه‌سازی انتقال ذرات رسوبی و معلق به صورت یک فاز دوم پیوسته با فاز سیال بر هم‌کنش، جهت ارزیابی نحوه حرکت ذرات رسوبی رودخانه بسیار ضروری به نظر می‌رسد (ایکبال و همکاران، ۲۰۱۹). در حال حاضر جهت شبیه‌سازی و ارزیابی حرکت ذرات رسوبی و نحوه رسوب‌گذاری، روابط ریاضی و مدل‌های فیزیکی مختلفی از جمله HEC-6، HEC-RAS، SSIM، GSTAR، MIKE21، FLUVIAL ارائه شده که بسیار مورد استفاده قرار می‌گیرند. به دلیل اینکه استفاده از مدل‌های فیزیکی نیازمند فضای وسیع، هزینه زیاد و زمان طولانی جهت انجام آزمایشات می‌باشد، اغلب توصیه نمی‌شوند، لذا بسیاری از مسائل مهندسی رودخانه با مدل‌های ریاضی بررسی می‌شوند (عزیزی و همکاران، ۱۳۹۸). با توجه به اهمیت و نقش فرایند انتقال و رسوب‌گذاری به ویژه در حوضه سدها، امروزه مدل‌های ریاضی شبیه دو بعدی به عنوان یک راه حل بهینه و کارآمد، کاربرد گسترده‌ای در مباحث هیدرولیک جریان و رسوب رودخانه‌ها به ویژه شبیه‌سازی و ارزیابی حرکت ذرات رسوبی پیدا کرده و در حال توسعه اند. چرا که در این مدل‌ها، تغییرات سرعت جریان در عرض رودخانه به کمک حل عددی معادلات دیفرانسیل ناویراستوکس و در شرایط جریان ماندگار و یکنواخت به خوبی مدل‌سازی و با کمترین خطای شبیه‌سازی می‌شود (ظهیری و همکاران، ۱۳۹۷). در این رابطه در سال‌های اخیر کاربرد مدل‌های ریاضی مناسب از جمله مدل fluent جهت بررسی هیدرولیک جریان و تحلیل الگوی حرکت ذرات رسوبی ضروری و بسیار مورد توجه قرار گرفته است. چرا که می‌تواند بین متغیرهای هندسی و هیدرولیکی رودخانه همبستگی معنی‌داری برقرار نماید (بایزیدی، ۱۳۹۶). تاکنون تحقیقات گسترده‌ای با استفاده از مدل‌های مختلف تک، دو و سه بعدی جهت تحلیل جریان رسوب و نحوه رسوب‌گذاری انجام شده است. از جمله نتایج بررسی هیدرودینامیکی الگوی آشفتگی جریان و انتقال رسوب توسط مدل CCHE2D^۲ جهت شبیه‌سازی و پیش‌بینی نواحی گردابهای در ناحیه قوس مقعر رودخانه‌ها، نشان داده که مدل آشفتگی k-e عملکرد بهتری دارد (خسروی، ۱۳۹۷). همچنین بررسی انتقال رسوب و تغییرات بستر رودخانه با استفاده از مدل 2.1 GSTARS³ بیانگر افزایش میزان رسوب‌گذاری به طرف پایین دست و بالابودن میزان فرسایش و کف کنی در بستر رودخانه در بالا دست می‌باشد(خانجانی زوراب و همکاران، ۱۳۹۹). بررسی مدل‌های سه‌بعدی و معیارهای مهم انتخاب مدل مناسب برای شبیه‌سازی‌های مختلف جریان رود، بیانگر این است که مدل Flow3D مناسب‌ترین مدل شبیه‌سازی جریان و رسوب به صورت همزمان می‌باشد (محجوب و همکاران، ۱۳۹۷). در بررسی ظرفیت انتقال جریان و رسوب مشخص شده که پارامترهای متعددی مانند اقلیم، ویژگی‌های زمین‌شناسی، هیدرولوژیکی، ژئومورفولوژیکی و مورفو‌لولوژیکی در بررسی و شبیه‌سازی ظرفیت انتقال و رسوب موثرند، اما مقایسه و ارزیابی روش‌های برآورد رسوب معلق بیانگر این است که تغییر منطقه اقلیمی بین ایستگاه

¹. Ouda

². Iqbal et al

های مورد بررسی موجب تغییر مدل‌های بهینه برآورد رسوب معلق انتخابی می‌شود (غلامی و همکاران، ۱۳۹۶). همچنین مشخص شده که در بررسی پدیده‌های زمانی منحنی سنجه رسوب معلق حوضه، مدل سری زمانی تابع انتقال در مقایسه با سایر مدل‌ها از عملکرد بالاتری برخوردار است (رئیسی و همکاران، ۱۳۹۸). نتایج بررسی ها نشان می‌دهد که در مدل سازی رابطه میزان رسوبات معلق و ویژگی‌های هیدرولوژیکی و محیطی حوضه، چهار عامل دبی و متوسط بارندگی سالانه، ضریب هورتون و ارتفاع متوسط حوضه، مهمترین پارامترهای موثر در برآورد رسوبات معلق می‌باشند (هنربخش و همکاران، ۱۳۹۸). و در برخی از تحقیقات بهینه سازی ضرایب معادله سنجه رسوب نشان داده شده که مدل الگوریتم ژنتیک عملکرد بهتری نسبت به منحنی سنجه رسوب دارد (ناصری و همکاران، ۱۳۹۸). بررسی‌ها نشان می‌دهد که در مدل سازی فرسایش خاک و اولویت‌بندی تولید رسوب حوضه با استفاده از مدل‌های SWAT و MUSLE، مناطق بحرانی با مقادیر تولید رسوب زیاد و خیلی زیاد در بالادست حوضه قرار دارند (کرمی و همکاران، ۱۳۹۸). در تحقیقی دیگر جهت بررسی تغییرات زمانی و مکانی منحنی سنجه رسوب در رودخانه با استفاده از مدل‌های شبیه دو بعدی نشان داده شد که استفاده از شرایط آزمایشگاهی و مقایسه آن با داده‌های محسوباتی می‌تواند به حل معادلات شبیه سازی و برآورد دقیق‌تر رسوب کمک نماید (ظهیری و همکاران، ۱۳۹۷).

به دلیل وجود مشکلات موجود در مدل‌های فیزیکی، شبیه دو بعدی و سه بعدی، به ویژه اخذ نتایج متفاوت به دلیل تاثیر پارامترهای مختلف در ظرفیت انتقال جریان و رسوب، در سال‌های اخیر استفاده از مدل‌های عددی جهت بررسی ظرفیت انتقال رسوب رودخانه‌ها در ایران و خارج از کشور بسیار مورد توجه قرار گرفته است، که از آن جمله می‌توان به موارد ذیل اشاره نمود: صالحی و همکاران (۱۳۹۷) به مدل سازی عددی امواج ناشی از شکست سد سنگی – ملاتی در زیر حوضه نوشان آذربایجان غربی با استفاده از مدل Fluent و روش VOF پرداختند. نتایج مقایسه شرایط آزمایشگاهی و مدل Fluent نشان داد که مدل Fluent از دقت بالایی در مدل سازی جریان سه بعدی ناشی از شکست سد برخوردار است. کلامی و همکاران (۱۳۹۸) به ارزیابی روابط هندسی-هیدرولیکی مقطع رودخانه‌ها با استفاده از حل معکوس معادلات سنت-ونانت، پرداختند. نتایج نشان داد روش‌های روندیابی هیدرولیکی-هیدرولوژیکی در شبیه سازی سیل رودخانه از دقت بالایی برخوردار هستند. کین و همکاران^۱ (۲۰۱۷) در بررسی مدل‌های پیش‌بینی میزان رسوب در کanal بیان نمودند که پارامترهای کمی بستر جریان جهت پیش‌بینی فرم پایدار کanal و تولید رسوب در مدل‌های دو سه بعدی به شکل هم زمان مناسب و لازم می‌باشند. اودا (۲۰۱۹) در مدل سازی و بررسی چند فازی انتقال رسوب و فرسایش بستر و تغییرات مورفودینامیک ساحلی رودخانه با استفاده از مدل سازی عددی نشان داد که مدل عددی چند فازی عملکرد مطلوبی را در شبیه سازی انتقال رسوب و فرسایش ارائه می‌دهد و می‌توان با استفاده از این مدل محدودیت‌های داده‌های تجربی را برطرف نمود. لای و همکاران^۲ (۲۰۱۹) در بررسی ظرفیت انتقال جریان و رسوب با مدل سه بعدی برای کanal‌های رو باز سطح آزاد با استفاده از معادلات حاکم بر جریان و رسوب معلق، نشان دادند که مدل تطابق خوبی با داده‌های تجربی ارائه داده است. ایکبال و همکاران (۲۰۱۹) در شبیه سازی شستشوی رسوب مخزن سد با استفاده از دومدل، D2 و نوع متوسط گودونف، مدل فیزیکی و یک فلوم آزمایشگاهی نشان دادند که فرسایش جانبی و تغییرات بستر بر اساس مقدار دبی و ویژگی‌های مورفولوژیکی کanal متغیر و با نتایج آزمایشگاهی نیز مطابقت خوبی دارد.

بررسی و مرور منابع نشان می‌دهد که تفکیک و تحلیل ریاضی ظرفیت انتقال رسوب معلق و باریستر به دلیل کاربرد دقیق و مطابق با واقعیت، بسیار مورد توجه قرار گرفته است. لذا در این تحقیق از روش گستره‌سازی مرتبه دوم مدل فلوئنت جهت تفکیک بار بستر و معلق، از اعداد تنশ رینولدز به منظور تعیین آستانه حرکت و جهت تحلیل الگوی حرکتی و تهشیینی ذرات رسوبی در تیوب‌های مختلف جریان در کanal شیشه‌ای آزمایشگاهی، از نرم‌افزارهای فلوئنت و آکوپاس

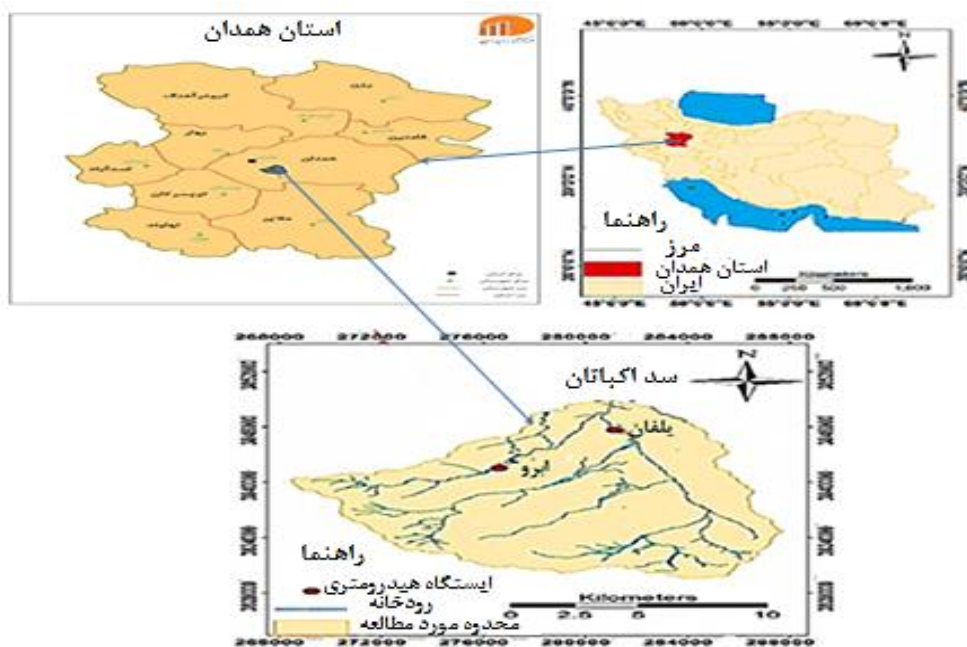
¹. Keane et al

². Lai et al

استفاده شده است. بررسی ها نشان می‌دهد که علیرغم کاهش دبی جریان ورودی تحت تاثیر خشکسالی‌ها و کاهش شدید بارش و انجام عملیات گسترده حفاظت خاک و آبخیزداری در سال‌های اخیر، میزان و نرخ انتقال ذرات رسوبی به مخزن سد اکباتان افزایش یافته است. با توجه به این که یکی از موضوعات اساسی مطرح در مهندسی رسوب مربوط به طبقه‌بندی انواع رسوبات چسبنده و غیر چسبنده، تعیین تنش آستانه حرکت و پارامترهای موثر در تهشیینی رسوبات است، لذا در این پژوهش ابتدا ذرات رسوبی بر اساس مصالح پایه تشکیل دهنده رسوبات طبقه‌بندی و در ادامه نحوه حرکت و ته نشینی ذرات رسوبی رودخانه یلفان در مخزن سد اکباتان همدان شبیه‌سازی و ارزیابی شده است.

معرفی منطقه مورد مطالعه

حوضه آبخیز سد اکباتان در جنوب شرقی شهرستان همدان بین $34^{\circ} 34' \text{ و } 45^{\circ} 48'$ عرض شمالی و $42^{\circ} 28' \text{ و } 48^{\circ} 42'$ طول شرقی واقع شده و از زیر حوضه‌های رودخانه قره چای همدان می‌باشد (شکل ۱). دبی متوسط رودخانه سد اکباتان $5/2$ متر مکعب در ثانیه در سال و متوسط بارندگی سالیانه حوضه $312/9$ میلی‌متر و متوسط درجه حرارت سالیانه آن $11/3$ درجه سانتی‌گراد و دارای اقلیم نیمه مرطوب سرد کوهستانی است. از نظر سنگ‌شناسی دارای سنگ‌های نفوذی و دگرگونی از نوع گرانیت، شیست، هورنفلس و به شکل محدود دارای تشکیلات آهکی می‌باشد (شکل ۱).



شکل ۱: موقعیت حوضه آبخیز سد اکباتان همدان

روش تحقیق

در این تحقیق از روش گستته‌سازی مرتبه دوم مدل عددی فلوئنت و جهت بررسی دقیق از حالات مختلف در اعداد رینولدز به منظور ایجاد اغتشاش مصنوعی از کanal شیشه‌ای آزمایشگاهی استفاده شده است. در این بررسی پس از ارزیابی اعداد مختلف رینولدز در آخرین حالت از $Re=100$ برای حل جریان گذرا با پله زمانی (time step) برابر $0/2$ و برای کوبیلینگ معادلات سرعت – فشار از الگوریتم SIMPLEC (استفاده شده است. با استفاده از این روش ضریب (*under-relaxation*) فشار به صورت خودکار برابر ۱ فرض و در هنگام استفاده از پیش فرض (SIMPLE) این پارامتر برابر $0/3$ در نظر گرفته شد. با توجه به حرکت مولکول‌های آب و وجود نیروی کشش سطحی که باعث گردش سیال در هر جهتی می‌شود و اثر این نیرو به ذرات رسوبی که موجب حرکات آنها در هرجهتی می‌گردد و با عنایت به اینکه مدل باید تمامی

این حرکت‌ها را بررسی نماید و انجام این محاسبات به کمک Cfd انجام می‌شود، لذا مدل برای هر خروجی و هر پارامتر حجم بسیار بالایی از داده‌ها را ارائه می‌دهد که کامپیوتراهای معمولی قادر به بررسی تمامی این خروجی‌های نیست، بنابراین به منظور تدقیق نتایج و دستیابی به خروجی منسجم‌تر، متمنکر و قابل استناد در این تحقیق ضربه under-relaxation (momemtum) از 0.7 به 0.9 تغییر داده شد تا همگرایی مناسب‌تری حاصل شود. برای از بین بردن تقارن جریان و تحریک شروع جریان گردابه‌ای یک اغتشاش مصنوعی به مدل اضافه شد، تا شرایط طبیعی موجود در رودخانه در کanal شیشه‌ای نیز ایجاد شود. از طرف دیگر باعث شود تا جریان اغتشاشی با اعمال یک سرعت یکنواخت در جهت محور x برابر 0.5 m/s در نیمه بالای میدان سیال و همچنین سرعت صفر متر بر ثانیه در کف جریان ایجاد تا شرایط مرزی استفاده شده دقیقاً بر اساس شرایط محیط طبیعی رودخانه یلفان سد اکباتان در نظر گرفته شود. در این بررسی با استفاده از مدل عددی فلوئنت و اعداد مختلف رینولدز خطوط جریان و پروفیل فشار در اطراف ذرات رسوبی، فشار منفی پشت ذره رسوبی محاسبه و میزان جابجایی ذرات رسوبی در سایزهای مختلف (قطر ذرات رسوبی سیلت و شن‌ریز) ارزیابی، طبقه‌بندی و شبیه‌سازی شد، تا بتوان الگو و سرعت تهنشینی ذرات رسوبی را با استفاده از معادله انتقال رسوب بررسی نمود. سپس نتایج حاصله با میزان جابجایی ذرات رسوبی در کanal شیشه‌ای مطابقت داده شد، تا میزان دقت و کارایی مدل مورد واستنجی قرار گیرد. با توجه به اینکه میکروگردابه‌ها در رودخانه‌ها با اعداد رینولدز مشخص تشکیل می‌شوند و در اعداد رینولدز پایین جریان آب آرام، پایدار و حرکت یکنواخت می‌باشد و تشکیل میکروگردابه‌ها بسیار کم و در اعداد رینولدز بالا نیز به دلیل ایجاد جریان اغتشاشی امکان ایجاد هیچ نوع میکروگردابه‌ای وجود ندارد، بلکه در این جریان‌ها، گردابه‌ها فقط در موقع خاصی از سال و به تعداد کم شکل می‌گیرند. در تحقیق حاضر مورد بررسی قرار نگرفته‌اند و بیشتر از زیابی‌ها بر روی مکانیسم جریان میکروگردابه‌ها و نقش آن‌ها در حمل رسوب که در اغلب اوقات سال رخ می‌دهد، پرداخته شده است. بررسی‌ها نشان می‌دهد که میکروگردابه‌ها عامل اصلی حمل رسوب موجود در جریان و انتقال رسوب به طرفین و مرکز رودخانه می‌باشد. به دلیل اینکه نتایج بررسی‌های مکرر مراحل آزمایشگاهی و متعدد مدل نشان می‌دهد که در عدد رینولدز 100 بیشترین تعداد میکروگردابه تشکیل و با توجه به سرعت موجود در رودخانه یلفان شکل می‌گیرند و می‌تواند مقدار حمل رسوب اندازه گیری شده در آزمایشگاه را مشخص نماید، لذا سعی شده تمام شرایط آزمایشگاهی مطابق با شرایط منطقه مورد مطالعه باشد. بنابراین پس از بررسی‌ها و ارزیابی نتایج خروجی مدل مشخص شد که در عدد رینولدز 100 ، گردابه‌های بزرگ مقیاس نسبت به گردابه‌های کوچک مقیاس تأثیر بیشتری بر حرکت جریان دارند، واما گردابه‌های کوچک مقیاس در جابجایی ذرات رسوبی تأثیر بیشتری دارند. بنابراین در این بررسی از عدد رینولدز 100 به دلیل تطابق و همخوانی خوب با رودخانه یلفان استفاده شد. در این تحقیق به لحاظ حساس بودن شبیه‌سازی الگوریتم الگوی حرکت ذرات رسوبی رودخانه سد اکباتان از روش (DSN) که در آن معادلات فیلتر نشده و تمامی مقیاس‌های زمانی و مکانی با هر طیفی لحاظ می‌شوند، استفاده و در نهایت نتایج حاصل از جابجایی ذرات رسوبی در تمامی مراحل کار با نتایج حاصل از داده‌های آزمایشگاهی در کanal شیشه‌ای مطابقت و میزان دقت و کارایی مدل توسط معیارهای ارزیابی (ARE) و (RRMS) مورد بررسی قرار گرفته است.

معرفی مدل فلوئنت^۱

نرم‌افزار فلوئنت از ۳ قسمت اصلی تشکیل شده است : الف) fluent/standard که یک حلگر چند منظوره مبتنی بر انتگرال گیری غیرصریح می‌باشد و از آن در جهت حل مسائل استانیکی جریان استفاده می‌شود (b) fluent/Explicit این حلگر وظیفه حل معادلات غیرخطی با بر همکنش‌های پیچیده را بر عهده دارد. (c) fluent/CFD این حلگر می‌تواند

تحلیل‌های دینامیک سیالات محاسباتی پیشرفته (مثل شبیه‌سازی جریان‌های آب و رسوی) را انجام دهد. در این پژوهش با استفاده از نرم‌افزار فلوئنت، و حل معادلات ناویر-استوکس برای شبیه‌سازی جریان و رسوی در حالت دو بعدی و پارامترهای فیزیکی و عددی مؤثر بر این پدیده پرداخته شده است (فلوئنت^۱، ۲۰۰۶).

طبقه‌بندی مدل‌های جریان و انتقال رسوی

در اکثر ارزیابی‌ها، مدل‌های بار کل در بررسی رسوی رودخانه‌ای ارجحیت بیشتری دارند. در این بررسی از مدل‌های بار کل استفاده شده که معادله کلی آن به صورت رابطه (۱) می‌باشد:

$$\frac{\partial c}{\partial t} + \frac{\partial(u_x c)}{\partial x} + \frac{\partial(u_y c)}{\partial y} + \frac{\partial(u_z c)}{\partial z} - \frac{\partial(\omega_s c)}{\partial z} = \frac{\partial}{\partial x} \left(\varepsilon_s \frac{\partial c}{\partial x} \right) + \frac{\partial}{\partial y} \left(\varepsilon_s \frac{\partial c}{\partial y} \right) + \frac{\partial}{\partial z} \left(\varepsilon_s \frac{\partial c}{\partial z} \right) \quad \text{رابطه (۱)}$$

رابطه (۱) خلاصه‌ای از مشتق گیری‌های متوالی سرعت نسبت به زمان در جهات مختلف x و y و z و است $u_x c$ و $u_y c$ و $u_z c$ به ترتیب سرعت جریان آب در جهت محورهای x و y و z و سرعت ته نشینی ذرات رسوی است.

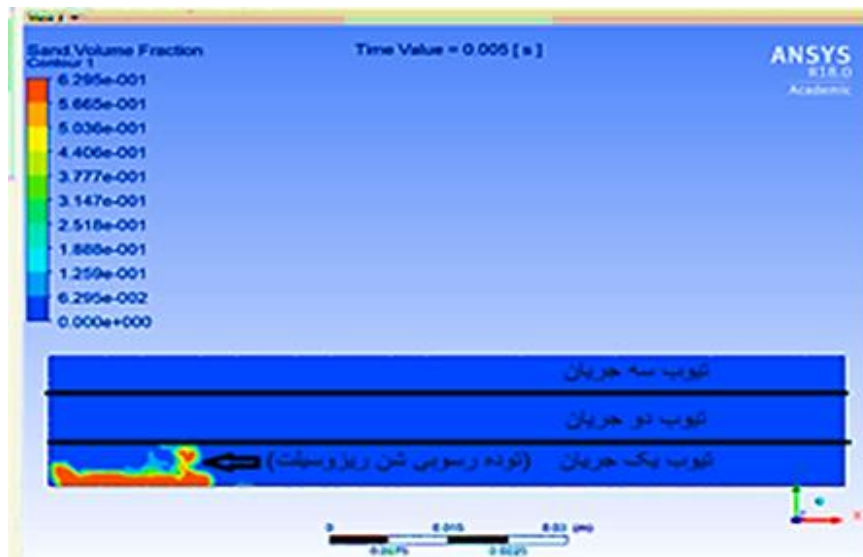
در معادله فوق سرعت ته نشینی (w_s) فقط تحت تأثیر نیروهای دراگ و وزن مستغرق در آب را کد در نظر گرفته می‌شود، حال آنکه براساس نتایج بدست آمده در آزمایشگاه و شبیه‌سازی‌های انجام گرفته، ذرات رسوی تحت تأثیر عوامل موثر و موجود دیگری در جریان سیال آب حرکت می‌کنند که مهم‌ترین آن‌ها نیروی سافمن یا نیروهای بالا برند سافمن (سافمن^۲، ۱۹۶۵) است. این نیرو در نزدیکی کف جایی که گردایان سرعت بالاست اهمیت زیادی داشته و ممکن است باعث کاهش سرعت سقوط ذرات رسوی گردد. بنابراین با توجه به نتایج بدست آمده باید معادله فوق اصلاح و نیروی سافمن در آن لحاظ گردد. که در این بررسی ضمن اصلاح معادله سرعت ته نشینی، نیروی سافمن ارزیابی و نقش آن در سرعت ته نشینی و طبقه‌بندی ذرات رسوی جریان بررسی شده است.

الگوی شبیه‌سازی حرکت ذرات رسوی شن و سیلت

بر اساس قطر ذرات رسوی و سرعت جریان متوسط رودخانه یلغان سد اکباتان، ابتدا کanal آزمایشگاهی به فواصل عمودی ۰.۱m، ۰.۲m، ۰.۳m تقسیم‌بندی و نحوه حرکت ذرات رسوی در این فواصل نسبت به عمق جریان شبیه‌سازی شد. به منظور تحلیل دقیق‌تر میزان و نحوه حرکت ذرات رسوی در تیوب‌های مختلف جریان از نتایج کanal شیشه‌ای، توسط نرم افزار اکوباس خروجی به شکل اینیمیشنی استخراج گردید. جهت رسیدن به این هدف ابتدا هندسه دو بعدی کanal در محیط گمبیت مدل فلوئنت (پیش‌پردازنده) ترسیم و سپس به حلگر فلوئنت به شکل زیر ارائه شد. شکل (۲).

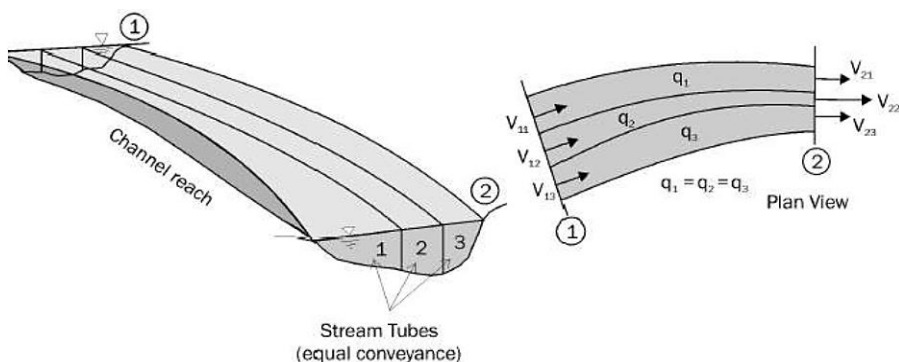
¹. Flouent

². Saffman



شکل ۲: ارتفاع ۳۰ سانتی‌متری آب در کanal آزمایشگاهی که به سه ارتفاع ۱۰ سانتی‌متری از کف کanal تا سطح تقسیم شده است هر ۱۰ سانتی‌متر یک تیوب جریان می‌باشد.

به منظور ارزیابی نحوه و آستانه حرکت ذرات رسوبی شن ریز و سیلت که اغلب بار رسوبی رودخانه یلفان را تشکیل می‌دهند، ابتدا با استفاده از پردازشگر فلئنت نحوه حرکت ذرات رسوبی بررسی و با استفاده از انیمیشن شبیه‌سازی پردازشگر فلئنت زمان شروع حرکت ذرات از ۰/۰۰۵ ثانیه تا زمان اتمام حرکت یعنی ثانیه ۱ در سه تیوب جریان بررسی شد. شکل (۳). بنابراین ابتدا جهت شبیه‌سازی نحوه حمل بار رسوبی شن ریز و سیلت در کanal آزمایشگاهی توسط نیروی بالا برندۀ سافمن در تیوب‌های جریان، خطوط هم فشار بررسی و با ایجاد جریان و سرعت ثابت در تیوب‌های جریان حرکت بار معلق ارزیابی شد.



شکل ۳: نمای شماتیک از مفهوم لوله‌های جریان مورد استفاده در مدل fluent
الف(پلان ب) نمای سه بعدی (مولیناس و همکاران، ۱۹۸۶)

جهت شبیه‌سازی الگوی حرکت و ته نشینی ذرات رسوبی در مقطع مطالعه از کanal آزمایشگاهی با طول ۴۰ متر و ارتفاع ۰/۳ متر و سرعت متوسط ۰/۵ متر بر ثانیه استفاده شد (شکل ۴). ابتدا جهت بررسی دقیق‌تر از دورین ضبط تصاویر با فریم بالا استفاده و سپس فواصل کanal جهت بررسی تیوب‌های جریان به فواصل ۱۰ سانتی‌متر در جهت عمودی مدرج گردید. توضیح اینکه فواصل افقی کanal نیز به صورت میلی‌متری دقیق‌تر، مدرج و سپس ذرات شن ریز و سیلت در

کanal شیشه‌ای آزمایشگاهی در مسیر جریانی با سرعت $5/0$ متر بر ثانیه همانند جریانی که در منطقه مورد مطالعه می‌باشد در کanal شیشه‌ای قرار داده شد. در این بررسی ذرات رسویی در ابتدای کanal در مسیر جریان قرار داده شد و همزمان با حرکت جریان با استفاده از دوربین متصل به کanal و اینیمیشن خروجی نرمافزار آکوباس میزان جابجای ذرات رسویی تا انتهای کanal محاسبه شد. جهت بررسی میزان جابجای ذرات رسویی در سه تیوب جریان با بازنگری چند بار از فیلم ظبط شده توسط دوربین متصل به کanal، بیشترین جابجای ذرات رسویی در تیوب‌های جریان بررسی شد. جهت دقیق‌سازی ذرات رسویی با رنگ‌های مختلف رنگ‌بندی شده تا در باز نگری تصویر بتوان با دقت بالا ذرات را شناسایی و رهگیری کرد. نتایج بدست آمده در این مرحله یادداشت و دقیقاً همین شرایط در مدل فلوئنت با همان شرایط مرزی شبیه‌سازی شد. سپس نتایج آزمایشگاهی با خروجی مدل مورد مقایسه و بررسی قرار گرفت. بعد از اطمینان از عملکرد بالای مدل اقدام به شبیه‌سازی حرکت رسوی با همان شرایط موجود در رودخانه گردید و عیناً مسیر و شکل رودخانه با همان جریان در نرمافزار ترسیم و شبیه‌سازی شد. سپس میزان حرکت ذرات رسویی اندازه‌گیری و داده‌های شبیه‌سازی شده مدل فلوئنت با داده‌های اندازه-گیری شده در آزمایشگاه مطابقت و میزان درصد خطا اندازه‌گیری شد.



شکل ۴ : کanal آزمایشگاهی جهت شبیه‌سازی

در نهایت الگوی ریاضی مناسب میزان جابجایی ذرات مختلف رسویی بر اساس قطر ذرات و نحوه قرارگیری در مسیر جریان و مسافت طی شده در فلوم آزمایشگاهی مشخص و تعیین گردید. در این رابطه از اعداد مختلف رینولذ در رژیم لایه جریان استفاده و آستانه حرکت ذرات رسویی استخراج گردید. با توجه به عدد نهایی آستانه حرکت ذرات رسویی شن و سیلت، میزان جابجایی ذرات رسویی در رژیم لایه‌ای جریان بررسی و بیشترین ذرات و حجم رسوی گذاری مشخص گردید. با توجه به روابط و ارزیابی سرعت ته نشینی ذرات رسویی در فلوم آزمایشگاهی (محاسباتی و خروجی مدل فلوئنت) معادله محاسباتی سرعت ته نشینی اصلاح و دقت مدل فلوئنت در تحلیل رسویات سیلت و شن ریز بر اساس قطر، مسافت طی شده و زمان ارزیابی شد.

معیارهای ارزیابی مدل‌ها

جهت کالیبراسیون و واسنجی بخش هیدرودینامیک جریان، از اطلاعات پروفیل سطح آب ایستگاه یلغان در سال ۱۳۹۷ و سپس به منظور تایید صحت نتایج از معیارهای^۱ (ARE) و^۲ (RRMS) روابط (۲ و ۳) استفاده شده است که عبارتند از:

¹. Relative Error Absolute

². Root Relative Mean Square Error

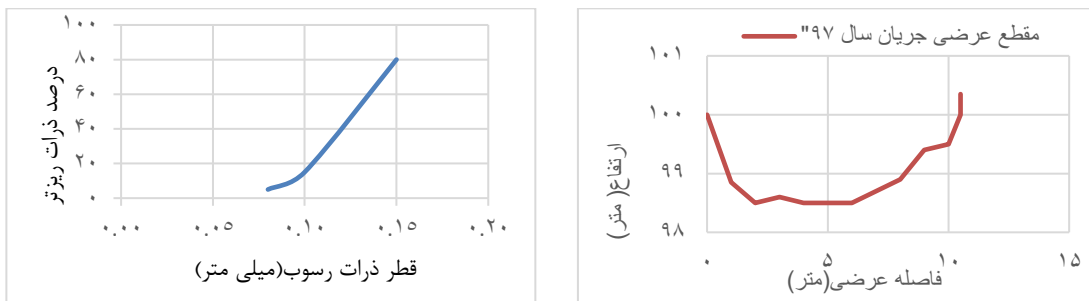
$$\text{RRMS} = \left[\frac{\frac{1}{n} \sum_{i=1}^n (pi - Qi)^2}{\frac{1}{n} \sum_{i=1}^n (pi - Qi)} \right]^{0.5} \quad (2)$$

$$\text{ARE} = \frac{\frac{1}{n} \sum_{i=1}^n [pi - Qi]}{\frac{1}{n} \sum_{i=1}^n Qi} \quad (3)$$

در این رابطه n : تعداد حالات متغیر ویسکوزیته جریان و pi : سرعت جریان محاسبه شده توسط فلوتت و qi : سرعت جریان مشاهد شده در کanal ازمایشگاهی می‌باشد.

داده‌های مورد نیاز

در این بررسی از داده‌های مربوط به سرعت در طول دوره آبی ۱۰ ساله (۱۳۹۷-۱۳۸۷) شامل سرعت میانگین آب /۹ متر بر ثانیه، سرعت ماکریم ۱/۲۲ و سرعت مینیمم آن ۰/۰۶۴ متر بر ثانیه مربوط به ایستگاه های بالادست (یلفان و ابرو)، استفاده شد. براساس بررسی های بعمل آمده متوسط دبی حداقل با فراوانی بیشتر مربوط به سرعت ۵/۰ متردر ثانیه بود که جهت بررسی دقیق نقش این مقدار در جابجایی و حرکت ذرات رسوبی شن ریز و سیلت در مدل استفاده شد. جهت تحلیل رسوب و شبیه‌سازی از دمای آب نیز به طور میانگین ۱۲/۲ درجه سانتی‌گراد در مدل معرفی استفاده گردید. همچنین با بررسی مقاطع عرضی موجود در سازمان آب منطقه همدان، مقطع عرضی با بیشترین همخوانی در طول پروفیل طولی رودخانه به طول ۱۲ کیلومتر جهت ارائه به مدل انتخاب شد شکل (۵). بر اساس بررسی قطر دانه بندی ذرات رسوبی در رودخانه یلفان سد اکباتان و با توجه به اینکه اطلاعات منحنی دانه‌بندی مصالح بستر نقش مهمی در شبیه‌سازی جریان و رسوب دارد، منحنی‌های دانه‌بندی طی ۱۰ سال گذشته تجزیه و تحلیل و در نهایت از متوسط آن‌ها در مدل استفاده شد. بررسی این منحنی‌ها و آمار معرفی شده به مدل بیانگر قرار گرفتن ذرات رسوبی در گروه ذرات شن ریز و سیلت بود. در شکل زیر منحنی متوسط دانه‌بندی جهت معرفی به مدل آورده شده است (شکل ۶).



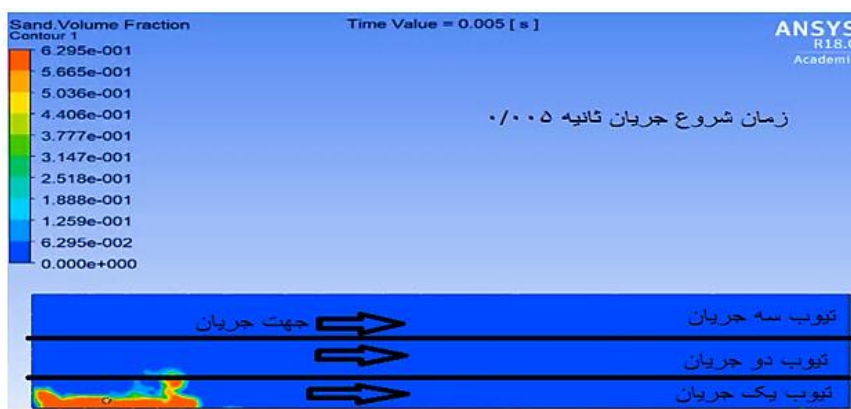
شکل ۶: منحنی متوسط دانه‌بندی رودخانه یلفان

شکل ۵: مقطع عرضی جریان سال ۹۷

بحث و یافته‌ها

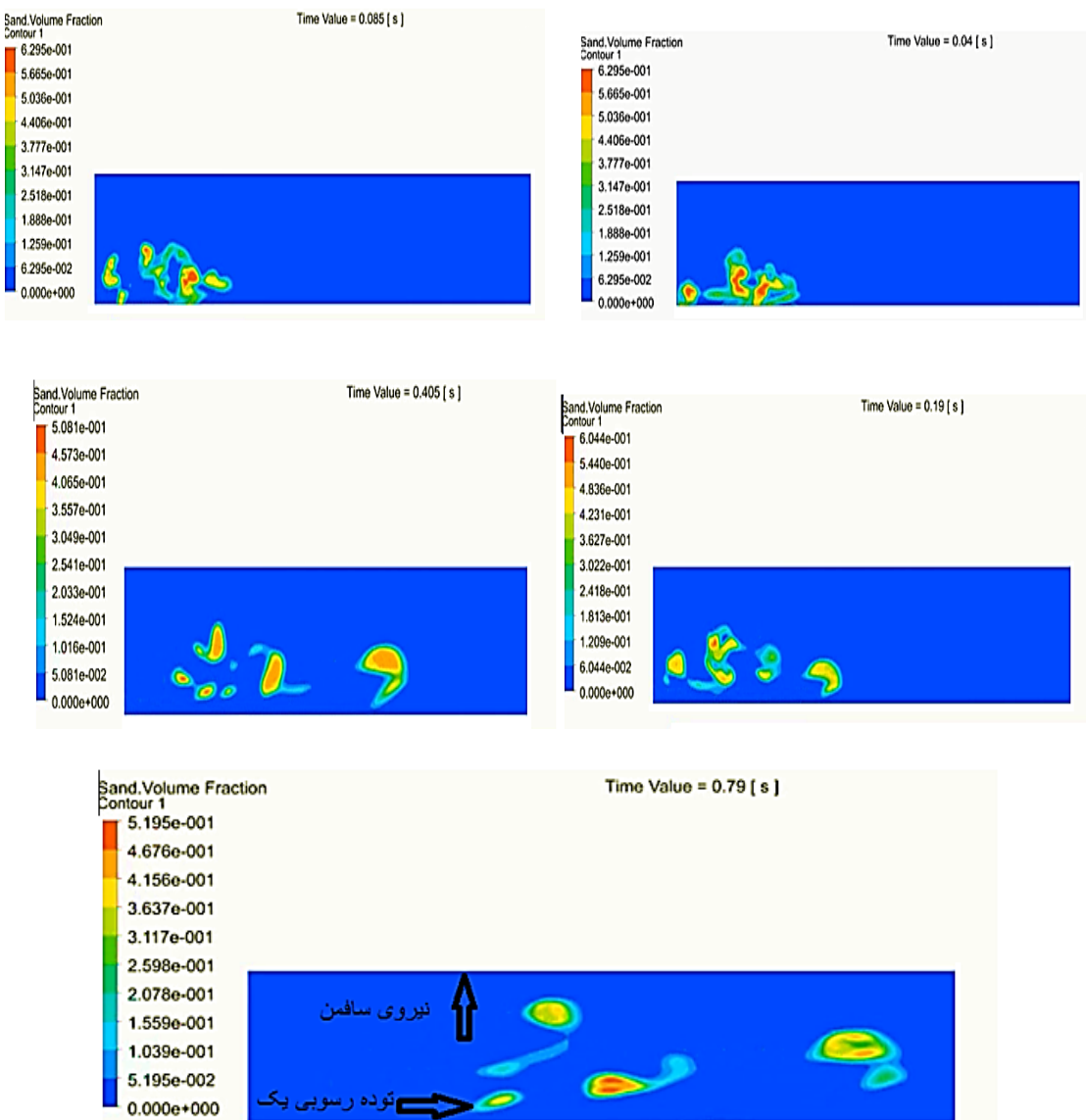
با توجه به اینکه که حرکت ذرات رسوبی در تیوب‌های مختلف جریان به دلیل ریز بودن و همچنین سرعت بالای جریان در طیف قابل مشاهد نیستند، به همین منظور از آنیمیشن شبیه‌سازی شده در زمان‌های مختلف جریان با دوربین با فریم و سرعت بالا متصل به کanal ازمایشگاهی استفاده و تصویربرداری شد. بررسی تصاویر نشان داد که حرکت ذرات رسوبی در هر سه تیوب جریان در کanal ازمایشگاهی رخ داده است، اما در تیوب ۱ و ۲ جریان بیشتر از تیوب ۳ و ذرات سیلت فقط در تیوب ۳ حرکت می‌کند، که به دلیل کوچک بودن ذرات سیلت و همچنین عملکرد نیروی بالا برندۀ سافمن این ذرات در تیوب ۳ جریان بیشترین تراکم را دارند. بررسی نیروی بالا برندۀ سافمن در کanal ازمایشگاهی نشان می‌دهد که این نیرو

در ابتدای جریان، ذرات سیلت را در تیوب ۳ جریان و در انتهای کanal در تیوب ۲ جریان حفظ نموده و تداوم داده است. در حالی که در تیوب ۱ جریان ذرات بزرگتر شن ریز تحت تاثیر نیروی بالابرند سافمن قرار گرفته و علی رغم عملکرد نیروی ثقل باز هم مقداری از ذرات شن ریز در تیوب ۲ جریان در کanal آزمایشگاهی حرکت می‌کند. شکل (۷) نحوه عملکرد نیروی سافمن بر ذرات رسوبی را در تیوب‌های ۱ و ۳ را در اشکال مختلف نشان می‌دهد و ملاحظه می‌شود که علیرغم جریان با سرعت بسیار کم ذرات شن ریز و سیلت در تیوب‌های ۱ و ۲ با مقدار بیشتر در حال حرکت و جابجایی هستند.



شکل ۷: نحوه حرکت ذرات رسوبی در تیوب‌های ۱، ۲ و ۳ جریان

بررسی و شبیه‌سازی الگوی حرکت ذرات رسوبی در کanal شیشه‌ای تحت تاثیر نیروی سافمن در ثانیه‌های (۰/۰۴ - ۰/۰۷۹) توسط پردازشگر فلوئیت نیز نشان می‌دهد که قسمت اعظم بار رسوبی در کanal آزمایشگاهی تحت تاثیر نیروی بالا برند سافمن قرار گرفته و موجب حمل بار رسوبی بیشتر در تیوب‌های جریان ۲ و ۳ می‌شود شکل (۸). نتایج نشان می‌دهد که این نیرو در فضای نزدیک به کف جریان یعنی مابین تیوب‌های ۱ و ۲ جایی که هنوز گرادیان سرعت جریان وجود دارد، با همکاری نیروی کشش سطحی آب از سقوط ذرات رسوبی به سمت کف جریان جلوگیری کرده و همین امر باعث می‌شود که ذرات رسوبی مسافت بیشتری را طی و موجب تجمع ذرات رسوبی به دیوارهای سدهای مخزنی شود. این در حالی است که جریان در مسافت دورتری از مخزن سد متوقف شده و قاعدهای ذرات رسوبی باید با توقف جریان، شروع به سقوط کردن نمایند، ولی عملاً این پدیده اتفاق نمی‌افتد و ذرات رسوبی سافمن به سمت بالا یعنی تیوب ۲ و ۳ جریان جاییکه هنوز گرادیان جریان به میزان خیلی کم وجود دارد هدایت شده و در نتیجه مسافت بیشتری را در نبود جریان اصلی طی کنند. این امر نشانگر آنست که عملکرد این نیرو در تیوب‌های مختلف جریان بسیار مهم و نقش ویژه‌ای درحمل بار رسوبی در رودخانه یلفان سد اکباتان دارد. بررسی‌ها نشان می‌دهد که بار رسوبی شن ریز و سیلت حاصل از فرسایش فیزیکو شیمیایی گرانیتها و شیستهای منطقه، مسافت بسیار بیشتری را در تیوب‌های مختلف جریان طی می‌کنند و م شاهده می‌شود که توده بار رسوبی فقط در تیوب یک جریان که در شکل (۸) م شخص شده، تحت تاثیر نیروی سافمن قرار نگرفته است. بنابراین نتایج نشان می‌دهد که تیوب یک جریان سهم بسیار کمی از بار رسوبی در کanal آزمایشگاهی را تشکیل داده و تحت تاثیر نیروی بالا برند سافمن قرار نگرفته و م شاهده می‌شود که بیشترین میزان حمل و نقل ذرات رسوبی در تیوب‌های ۲ و ۳ رخ داده که این امر در شکل (۸) کاملاً واضح می‌باشد.



شکل ۸: شبیه‌سازی تصویری حرکت ذرات رسوبی در کانال تحت تاثیر نیروی سافمن در ثانیه‌های (۰/۰۴ الی ۰/۷۹) توسط پردازشگر فلوئنت

بنابراین چنین استنباط می‌شود که یکی از دلایل افزایش میزان رسوب ورودی به مخزن سد اکباتان با وجود کاهش جریان ورودی (نظیر خشکسالی‌ها و کاهش بارش)، افزایش نرخ جابجایی و انتقال ذرات رسوی شن ریز و سیلت تحت تاثیر نیروی سافمن در تیوب های ۲ و ۳ جریان است. که برخلاف این تصور که قسمت اعظم بار رسوی رودخانه یلفان شامل ذرات درشت دانه و قطر رسوی بیشتر از ذرات شن و سیلت است و موجب انباشت رسوب در بستر و به ویژه مخزن سد اکباتان شده، درست نبوده و سهم عمدۀ حجم مخزن سد توسط رسوبات شن ریز و سیلت پر شده است. نتایج نشان می‌دهد که رودخانه یلفان سد اکباتان در طول سال با حداقل دبی و حتی در دوره های خشکسالی با وجود بارش های محدود، با کمترین سرعت جریان تحت تاثیر نیروی سافمن موجب حرکت ذرات رسوی شن ریز و سیلت به شکل بار معلق رسوی شده و حجم عمدۀ انباشت رسوبات در مخزن سد را تشکیل می‌دهد. بررسی دانه‌بندی ذرات رسوی مخزن سد نیز نشان داد که حجم عمدۀ مخزن سد از این نوع رسوبات انباشته شده است (شکل ۹).



شکل ۹: انباشت رسوبات شن ریز و سیلت در سد اکباتان

بررسی نتایج ته‌نشینی ذرات رسوبی در فواصل مختلف کanal آزمایشگاهی نشان می‌دهد که ذرات رسوبی با قطرهای ۱/۰ الی ۴/۰ میلی‌متر با جریان ۵/۰ متر برثانیه در بستر کanal شروع به حرکت و ته‌نشینی می‌کنند. در حالیکه ذرات ریزتر از ۱/۰ میلی‌متر در انتهای کanal ته‌نشین شده و ذرات بزرگتر از ۴/۰ میلی‌متر تقریباً با طی مسافت ۱/۰ متر در کanal شروع به ته‌نشین شدن نموده‌اند (شکل ۱۰).



شکل ۱۰: نتایج شبیه‌سازی ته‌نشینی ذرات رسوبی در فواصل مختلف کanal آزمایشگاهی (رنگ آبی مشخص کننده ذرات رسوبی با قطرهای ۱/۰ الی ۴/۰ میلی‌متر هستند)

نتایج شبیه‌سازی بیانگر این است که با کاهش میزان سرعت دبی عبوری، میزان رسوبگذاری (قسمت آبی رنگ) بیشتر شده است. بعلاوه بر اساس نتایج حاصل از شبیه‌سازی می‌توان نقطه شروع رسوبگذاری در رودخانه یلغان را مشخص نمود. به طوری که با توجه به شکل (۱۰) می‌توان دریافت که با گذشت ۲/۰ متر از شروع جریان در کanal فرایند رسوب‌گذاری آغاز و انباشت رسوبات با ادامه جریان به سمت پایین دست افزایش می‌یابد.

بررسی نتایج آزمایشگاهی

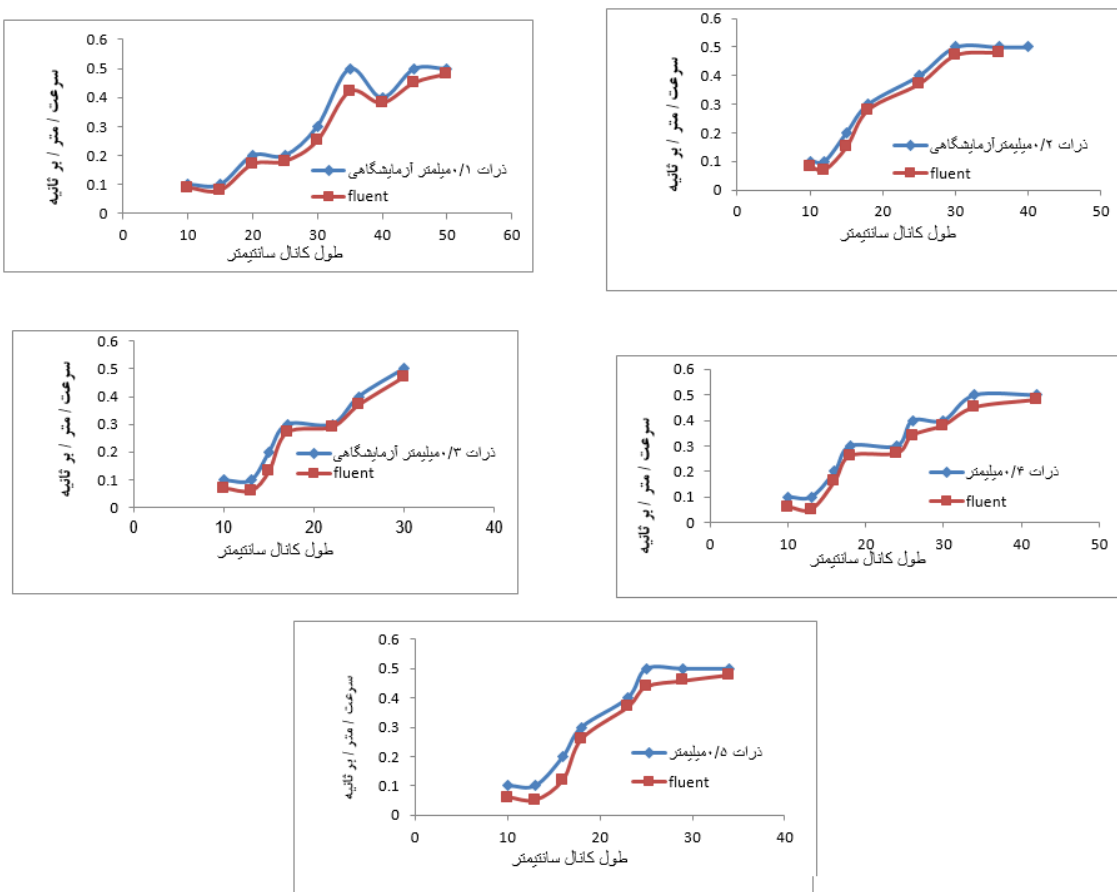
بررسی‌ها نشان می‌دهد که به دلیل وجود خطوط هم فشار و ایجاد جریان و سرعت ثابت در تیوب دوم جریان، بار رسوبی معلق بیشتر حمل شده است شکل (۱۱). و همین امر باعث حمل و انتقال بیشترین بار رسوبی به بصورت بار معلق در تیوب‌های مختلف جریان در رودخانه یلغان تا مخزن سد اکباتان شده و نشان می‌دهد که حجم عمده مخزن سد طی این فرایند توسط رسوبات شن ریز و سیلت پر شده است. مراحل اندازه گیری مسافت طی شده ذرات رسوبی شن ریز و سیلت در کanal

آزمایشگاهی در سرعت $5/0$ متر بر ثانیه تحت شرایط حداقلی دبی رودخانه و شرایط کم آبی رودخانه یلغان در شکل (۱۱) قابل مشاهد است. جهت واستجی مدل، در کanal آزمایشگاهی ذرات شن ریز و سیلت را در مسیر جريانی با سرعت $5/0$ متر بر ثانیه قرار داده شد و مسافت طی شده توسط دوربين متصل به کanal اندازه‌گیری شد و سپس نتایج با انيميشن خروجي مدل مقاييسه گردید.



شکل ۱۱: نحوه انتقال ذرات رسوبی شن ریز و سیلت در سرعت $5/0$ متر بر ثانیه

ارزیابی نتایج به دست آمده نشان می‌دهد که نرمافزار فلوئنت با دقت بسیار بالا و قابل قبول الگوی حرکت و تنهشینی ذرات رسوبی شن ریز و سیلت را با دامنه‌ای از رنج‌های مختلف به خوبی شبیه سازی کرده است. بررسی شکل (۱۲) نشان می‌دهد که بيشترین جایگاهی در قطر ذرات $1/0$ میلی‌متر رخ داده و بيشترین تطابق نیز در همين ذرات رسوبی است.



شکل ۱۲: نتایج واسنجی مدل فلوئنت و کanal آزمایشگاهی بر اساس قطر ذرات با سرعت $5/0$ متر بر ثانیه

بررسی میزان درصد خطای اندازه‌گیری شده برای داده‌های آزمایشگاهی و شیبیه‌سازی شده بیانگر تطابق بالای مدل فلوئنت با داده‌های اندازه‌گیری شده در شرایط آزمایشگاهی می‌باشد و نشان می‌دهد که مدل در شیبیه‌سازی ذرات رسوبی با قطر های مختلف از توانایی و دقت بسیار خوبی برخوردار است. همین‌گونه نتایج آزمایشگاهی و مدل فلوئنت بیش از ۹۷٪ درصد است که قابل قبول می‌باشد. بررسی جدول (۱) نشان می‌دهد که کمترین خطایمروط به ذرات 0.3 mm و بیشترین خطایمروط به ذرات 5 mm است. بنابراین تلفیق مدل فلوئنت و شرایط آزمایشگاهی می‌تواند ابزار بسیار مفید و دقیقی جهت محاسبه و تعیین نوع بار رسوبی و حتی تعیین مکان رسوبگذاری در بررسی حوضه‌های رودخانه‌ای باشد و این امر می‌تواند کمک شایانی در کنترل فرسایش و رسوب و انتخاب پروژه‌های حفاظت خاک و آبخیزداری نماید.

جدول ۱: درصد خطای نتایج آزمایشگاهی و شیبیه سازی شده مدل فلوئنت

نتایج مدل فلوئنت	نتایج آزمایشگاهی	قطر ذرات رسوبی
RMSE	RMSE	ذرات
۰/۹۳	۰/۸۹	۰/۱
۰/۹۳	۰/۹	۰/۲
۰/۹۳	۰/۹۳	۰/۳
۰/۹۲	۰/۹	۰/۴
۰/۹۰	۰/۸۸	۰/۵

الگوهای ریاضی حد آستانه جابجایی ذرات رسوبی

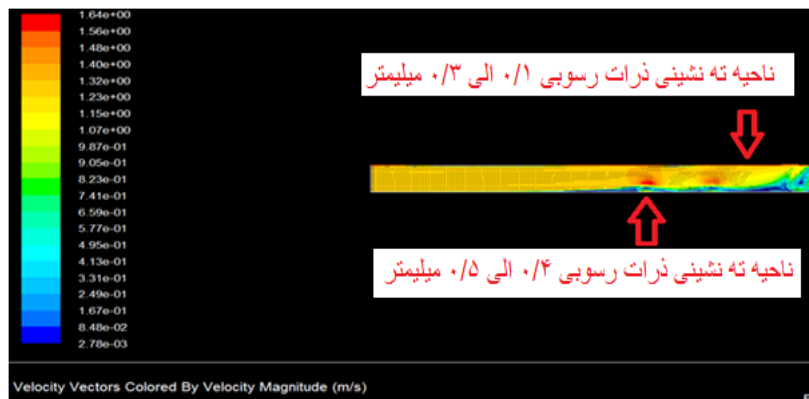
نتایج بررسی شکل و ابعاد ذرات رسوبی و میزان قرار گیری این ذرات در مسیر جريان نشان می‌دهد که رسوبات شن ریز و سیلت به مقدار زیاد و در مسافت قابل توجهی جابجا می‌شود. به طوری که شیبیه‌سازی ذرات مختلف رسوبی در فلوم آزمایشگاهی با دقت بسیار خوب و قابل قبول بیانگر وجود یک الگوی ریاضی دقیق جهت محاسبه میزان جابجایی ذرات مختلف رسوبی در رودخانه یافان است. بنابراین جهت دستیابی به این هدف ابتدا با در نظر گرفتن اعداد رینولدز و تعیین آستانه حرکت ذرات رسوبی در رژیم لایه جريان و تعیین عدد نهایی رینولدز و آستانه حرکت ذرات رسوبی شن و سیلت مشخص شد که نحوه شیبیه‌سازی توده رسوبی در فلوم آزمایشگاهی و با عدد رینولدز آستانه حرکت ذرات شن و سیلت در کanal آزمایشگاهی قابل شیبیه‌سازی در مدل است.

با توجه به روابط و ارزیابی سرعت ته نشینی ذرات رسوبی در فلوم آزمایشگاهی (محاسباتی و خروجی مدل فلوئنت) معادله محاسباتی سرعت ته نشینی اصلاح و دقت مدل فلوئنت در تحلیل حرکت رسوبات سیلت و شن بر اساس قطر، مسافت طی شده و زمان براساس عدد رینولدز ارزیابی و به شکل زیر تصحیح و ارائه شد.

(رابطه (۴))

$$RE = 999 * 0.05 * \frac{(20 * 10^{-3})}{9 * 10^{-4}} = 1100$$

نتایج حاصله از شیبیه‌سازی الگوی حرکت و ته نشینی ذرات رسوبی در مدل فلوئنت نشان می‌دهد که ابتدا در ناحیه میانی ذرات رسوبی $0/1$ تا $0/3$ با مقدار کم و در قسمت میانی ذرات رسوبی با قطر $0/4$ تا $0/5$ میلی‌متر در حال ته نشینی هستند و بیانگر این است که ذرات رسوبی با قطرهای مورد بررسی مسافت طولانی را با سرعت کم جريان طی می‌کنند (شکل ۱۳).



شکل ۱۳: شبیه سازی حرکت و ته نشینی ذرات رسوی در مدل فلوبنت

بنابراین بررسی‌ها نشان می‌دهد که ذرات شن با قطر $1/0$ میلی‌متر در دبی $5/0$ متر بر ثانیه مسافت $55/0$ متر را در فلوم آزمایشگاهی طی می‌کنند و با توجه به رابطه فیزیکی طی مسافت در زمان $x=vt$ می‌توان گفت که ذرات شن با قطر متوسط $1/0$ میلی‌متر در مدت زمان $9/9$ ثانیه مسافت $55/0$ متر را در فلوم آزمایشگاهی طی کرده که این مسافت طی شده بیانگر سرعت زیاد حرکت ذره رسوی با این قطر است. در حالیکه ذرات شن با قطر $2/0$ میلی‌متر در دبی $5/0$ متر بر ثانیه مسافت $45/0$ متر را در فلوم آزمایشگاهی طی و با توجه به رابطه فیزیکی طی مسافت در زمان $x=vt$ می‌توان گفت ذرات شن با قطر متوسط $2/0$ میلی‌متر در مدت زمان $11/0$ ثانیه مسافت $45/0$ متر را در فلوم آزمایشگاهی طی می‌کنند. بعلاوه ذرات شن با قطر $3/0$ میلی‌متر در دبی $5/0$ متر بر ثانیه مسافت $3/0$ متر را در فلوم آزمایشگاهی طی می‌کنند که با توجه به رابطه فیزیکی طی مسافت در زمان $x=vt$ می‌توان گفت ذرات شن با قطر متوسط $3/0$ میلی‌متر در مدت زمان $17/0$ ثانیه مسافت $3/0$ متر را در فلوم آزمایشگاهی طی می‌کنند. در حالیکه ذرات شن با قطر $4/0$ میلی‌متر در دبی $5/0$ متر بر ثانیه مسافت $4/0$ متر را در فلوم آزمایشگاهی طی می‌کنند و با توجه به رابطه فیزیکی طی مسافت در زمان $x=vt$ می‌توان گفت ذرات شن با قطر متوسط $4/0$ میلی‌متر در مدت زمان $12/0$ ثانیه مسافت $4/0$ متر را در فلوم آزمایشگاهی طی می‌کنند و در نهایت ذرات شن با قطر $5/0$ میلی‌متر در دبی $5/0$ متر بر ثانیه مسافت $4/0$ متر را در فلوم آزمایشگاهی طی می‌کنند که با توجه به رابطه فیزیکی طی مسافت در زمان $x=vt$ می‌توان گفت ذرات شن با قطر متوسط $5/0$ میلی‌متر در مدت زمان $14/0$ ثانیه مسافت $35/0$ متر را در فلوم آزمایشگاهی طی می‌کنند (جدول ۲). بررسی اعداد جدول (۲) نشان می‌دهد که سرعت جابجایی ذرات رسوی با این قطرها با سرعت $5/0$ متر بر ثانیه بسیار زیاد بوده و نشان دهنده جابجایی حجم عظیمی از این ذرات در مسیر رودخانه یلفان سد اکباتان است. نکته مهم و حائز اهمیت اینست که در رینولدز $10/0$ این ذرات در آستانه حرکت قرار می‌گیرند و برای ذرات کوچکتر مثل سیلت قطعاً این مقدار عدد رینولدز کمتر خواهد بود و چنین استنبط می‌شود که میزان جابجایی ذرات با قطر $4/0$ میلی‌متر تقریباً مشابه با ذرات کوچکتر از $4/0$ میلی‌متر است و نشان می‌دهد که این امر به دلیل قرارگیری سطوح بیشتر ذرات رسوی در مسیر جريان می‌باشد. بنابراین قطعاً سرعت و مسافت جابجایی ذرات سیلت به مراتب بیشتر از ذرات شن ریز است و در نهایت با توجه به رابطه (۵) سرعت ته‌نشینی ذرات رسوی در فلوم آزمایشگاهی محاسبه و در خروجی مدل به شکل زیر نشان داده شده است.

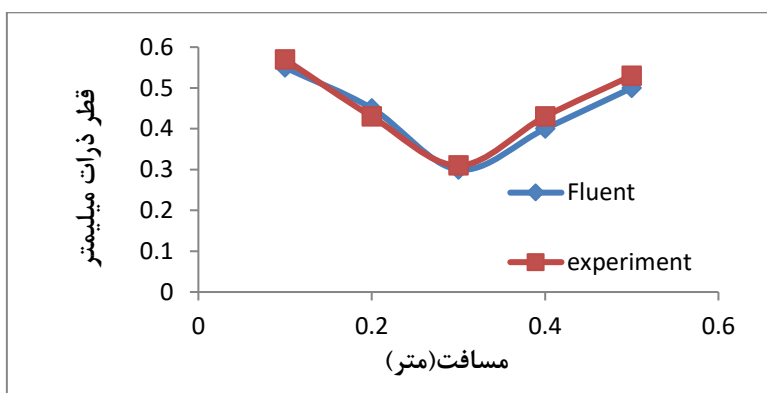
$$\omega_s = 1.72 \sqrt{\frac{\rho_s - \rho}{\rho}} gd \quad (5)$$

در این رابطه ω_s سرعت ته نشینی ذرات، p_s چگالی ذرات رسوی p چگالی آب d مسافت طی شده ذرات می‌باشد (مسافت طی شده ذرات رسوی در نیروی گرانش $9/81$)

جدول ۲: نحوه، مدت و مسافت محاسباتی حرکت ذرات رسویی در مدل فلوئنت با سرعت 5 m/s

مسافت / متر	مدت زمان / ثانیه	قطر ذرات رسویی / میلیمتر
۰/۵۵	۹	۰/۱
۰/۴۵	۱۱	۰/۲
۰/۳	۱۷	۰/۳
۰/۴	۱۲	۰/۴
۰/۳۵	۱۴	۰/۵

نتایج مقایسه داده‌های سنجش شده در فلوم آزمایشگاهی با خروجی مدل فلوئنت نشان می‌دهد که مدل با دقت بسیار بالا قابل قبول پردازش و تحلیل رسوی متعلق دانه ریزی مثل شن ریز و سیلت را به خوبی انجام داده است . با توجه به اینکه در اکثر بررسی ها به دلیل ریز دانه بودن این ذرات رسویی، مطالعه بر روی آن مشکل و یا امکان پذیر نمی‌باشد، بنابراین می‌توان از مدل فلوئنت در تحلیل رسویات ریز دانه به ویژه در نحوه انباشت این رسویات در مخازن سدها که محیط مناسبی جهت ترسیب آنها می‌باشد به خوبی استفاده نمود . نتایج مقدار همبستگی 93% درصد در قطر ذرات رسویی 3 mm مدل با داده های آزمایشگاهی اندازه‌گیری شده گویای این واقعیت می‌باشد (شکل ۱۴).



شکل ۱۴: نتایج مقایسه داده‌های سنجش در فلوم آزمایشگاهی با خروجی مدل فلوئنت.

نتیجه‌گیری

پدیده انتقال رسوی، حاصل یک جریان دوفازی جامد-مایع و اثرات متقابل بین آنهاست که حتی در شرایط عادی روش‌های تک فازی قادر به مدل‌سازی اثرات متقابل بین این دو فاز نبوده، و ثابت شده که مدل‌های دوفازی امکان تحلیل و مدل سازی کامل اثرات متقابل بین ذره و نوسانات آشفتگی را ندارند. بنابراین استفاده از مدل‌های چند فازی در تحلیل و شبیه‌سازی انتقال ذرات رسویی و متعلق به صورت یک فاز دوم پیوسته جهت ارزیابی حرکت ذرات رسویی رودخانه بسیار ضروری به نظر می‌رسد. در این بررسی، طبقه‌بندی و الگوی حرکت، سرعت، مسافت و تهنشینی ذرات رسویی ریزدانه به ویژه ذرات شن ریز و سیلت در رودخانه یلفان سد اکباتان با استفاده از مدل عددی چند دوفازی فلوئنت و کanal شیشه‌ای آزمایشگاهی ارزیابی شد. نتایج نشان داد که ذرات رسویی به واسطه نیروی جاذبه ابتدا در کف تیوب ۱ جریان شروع به حرکت نموده و ذرات سنگین تر در کف بصورت غلتشی به شرط وجود جریانی با سرعت بیشتر در تیوب ۱ به حرکت خود ادامه می‌دهند و معمولاً مسافت زیادی را طی نکرده و از لحاظ رسویگذاری هم نقش مهمی ندارند. نتایج مراحل آزمایشگاهی نشان داد که ذرات رسویی موجود در تیوب ۲ جریان مسافت بسیار بیشتری را طی کرده و به صورت تجمعی درانتهای کanal انباشته می‌شوند. این درحالی است که ذرات رسویی موجود در تیوب ۱ جریان در همان ابتدای کanal به صورت تدریجی در طی مسیر، انباشته می‌شوند. نتایج بیانگر این است که حرکت ذرات رسویی سیلت و شن ریز در تیوب‌های ۲ و ۳ جریان بیشتر

از نتیوب ۱ اتفاق افتاده و همین امر باعث شده که این ذرات بتوانند مسافت خیلی زیادی را در جریان‌هایی با سرعت خیلی کم حرکت کنند. نتایج نشان داد که با وجود کاهش جریان و به دلیل اینکه نیروی بالابرند سافمن از سقوط ذرات جلوگیری می‌کند، باعث می‌شود ذرات در تیوب‌های جریان ۱ و ۲ تا مسافت بیشتری به حرکت خود ادامه دهند.

نتایج شبیه‌سازی پردازشگر فلوئنت نیز نشان داد که قسمت اعظم بار رسوبی در کanal آزمایشگاهی توسط نیروی بالا برند سافمن حمل می‌شود و عملکرد این نیرو باعث حمل و انتقال بیشترین بار رسوبی به بصورت بار معلق در رودخانه یلغان شده است. بررسی‌ها نشان می‌دهد که قسمت اعظم بار رسوبی رودخانه یلغان بیشتر از ذرات شن و سیلت است و سهم عمده حجم مخزن سد توسط رسوبات شن ریز و سیلت پر شده است. نتایج شبیه‌سازی نتایج نشان داد که با گذشت ۰/۲۰ متر از شروع جریان در کanal فرایند رسوب گذاری آغاز و انباشت رسوبات با ادامه جریان به سمت پایین دست و در نزدیکی مخزن سد افزایش می‌یابد. ارزیابی نتایج به دست آمده نشان می‌دهد که نرم‌افزار فلوئنت با دقت بسیار بالا و قابل قبول حمل، انتقال و ترسیب رسوبات با دامنه ای از رنج‌های مختلف را به خوبی شبیه‌سازی کرده است. بررسی میزان درصد خطای اندازه گیری شده برای داده‌های آزمایشگاهی و شبیه‌سازی شده بیانگر تطبیق بالای مدل فلوئنت با داده‌های اندازه گیری شده در شرایط آزمایشگاهی می‌باشد و مشاهده می‌شود که مدل در شبیه‌سازی ذرات رسوبی با قطرهای مختلف از توانایی و دقت بسیار خوبی برخوردار است. همبستگی نتایج آزمایشگاهی و مدل فلوئنت در مجموع بیش از ۹۷درصد است که قابل قبول می‌باشد. بنابراین تلفیق مدل فلوئنت و شرایط آزمایشگاهی می‌تواند ابزار بسیار مفید و دقیقی جهت محاسبه و تعیین نوع بار رسوبی و حتی تعیین مکان رسوبگذاری در بررسی حوضه‌های رودخانه‌ای باشد و این امر می‌تواند کمک شایانی در کنترل فرسایش و رسوب و انتخاب پروژه‌های حفاظت خاک و آبخیزداری نماید.

منابع

- ایلدرمی، ع، و شیخی پور، آ، ۱۳۹۵. بررسی تغییرات مورفولوژیکی رودخانه و نقش آن در فرسایش و رسوبگذاری با استفاده از مدل HEC-RAS (مطالعه موردی: رودخانه خرم آباد-دوآب ویسان)، پژوهش‌های ژئومورفولوژی کمی، جلد ۵، شماره ۳، صص ۱۴۶-۱۶۳.
- بایزیدی، م، و کرمی، نادر، ۱۳۹۶. پیش‌بینی روند رسوبگذاری در رودخانه قره سو با استفاده از مدل GSTARS ۳، مجله محیط‌زیست و مهندسی آب، دوره ۳، شماره ۱، صص ۸۰-۶۶.
- طاهر شمسی، ا، فیضی خانکندي، ا، و خمسه‌ای، س، ر، ۱۳۸۸. مدل سازی سه بعدی تاثیرات هندسه مخزن سد بر روی دبی پیک هیدروگراف خروجی ناشی از شکست سد، هشتمین کنگره بین‌المللی مهندسی عمران در سال ۱۳۸۸، شناسه (COI) مقاله: ICCE08_075.
- حیدری، م، ۱۳۸۱. شبیه‌سازی جریان روی سرریز اوجی با استفاده از نرم افزار FLUENT، پایان نامه کارشناسی ارشد، دانشکده عمران و محیط زیست، دانشگاه تربیت مدرس، ص ۱۱۶.
- خانجانی زوراب، م، ایلدرمی، ع، و نوری، ح، ۱۳۹۹. بررسی انتقال رسوب و تغییرات بستر رودخانه یلغان سد اکباتان همدان. پژوهش‌های ژئومورفولوژی کمی، سال نهم، شماره ۹، صص ۵۰-۶۹.
- خسروی، غ، ۱۳۹۷. بررسی هیدرودینامیکی الگوی آشفته جریان و انتقال رسوب توسط مدل CCHE2D (مطالعه موردی: پیچانرود پایین دست سد میناب) نشریه مجله علوم و مهندسی آبخیزداری ایران، دوره ۱۲، شماره ۴۰، صص ۳۹-۲۳.
- رئیسی، م، نجفی نژاد، ع، و عظیم محسنی، م، ۱۳۹۸. بررسی پدیده‌های زمانی منحنی سنجه رسوب و مقایسه آن با چند روش آماری برای برآورد بار رسوب معلق (مطالعه موردی: حوضه آبخیز گاماسیاب)، پژوهشنامه مدیریت حوزه آبخیز، دوره ۱۰، شماره ۲۰، صص ۹۶-۸۳.

- صالحی، م، فرهادی، ع.ر، تمیله، ذ، و احمدپور، ظ. ۱۳۹۷. مدل‌سازی عددی امواج ناشی از شکست سد سنگی – ملاتی در زیر حوضه نوشان آذربایجان غربی، مجله محیط زیست و مهندسی آب، دوره ۴، شماره ۱، صص ۹۰-۱۰۰.
- ظهیری، ع، قلی تژاد، ج، دهقانی، ا، ۱۳۹۷. محاسبه توزیع عرضی رسوب رودها با استفاده از مدل ریاضی شبه دو بعدی (مطالعه نمونه‌ای : رود قره سو)، مجله مهندسی منابع آب، سال ۱۱، شماره ۳۸۵، صص ۸۳-۹۳.
- غلامی، ل، هادی قورقی، ج، عبدالهی، ز، و خالدی درویشان، ع، ۱۳۹۶. مقایسه و ارزیابی روش‌های برآورد رسوب معلق با استفاده از دسته بندی داده‌ها (مطالعه موردی: ایستگاه‌های دوآب مرک، شیرگاه و کریکلا)، تحقیقات منابع آب ایران، دوره ۱۳، شماره ۳، صص ۱۸۷-۱۹۳.
- عبقری، ه، فرهادی ع. ر، ۱۳۹۱. بررسی مشخصات موج ناشی از شکست سد و مدل‌سازی عددی دو بعدی آن در محیط فلوئیت، پایان‌نامه کارشناسی ارشد، دانشکده منابع طبیعی دانشگاه ارومیه، ص ۱۳۵.
- عزیزی، ش، ایلدرمی، ع، و نوری، ح، ۱۳۹۸. تأثیر تغییر مقاطع عرضی بر طغیان و ظرفیت انتقال رودخانه آبشینه همدان، نشریه پژوهش‌های ژئومورفولوژی کمی، سال ۸، شماره ۲، صص ۲۰۹-۱۸۹.
- کلامی، س، مظاہری، م، و محمدولی سامانی، ج، ۱۳۹۸. تشخیص روابط هندسی - هیدرولیکی سطح مقطع رودخانه‌ها با استفاده از حل معکوس معادلات سنت-ونانت و کاربرد آن، نشریه مهندسی عمران شریف، دوره ۲، شماره ۴/۲، صص ۳۳-۴۲.
- کرمی، ف، و بیاتی خطیی، م، ۲۰۱۹. مدل‌سازی فرسایش خاک و اولویت‌بندی تولید رسوب در حوضه‌ی سد ستارخان اهر با استفاده از مدل‌های SWAT و MUSLE، مجله هیدرولوژی ژئومورفولوژی، دوره ۶، شماره ۱۸ - شماره پیاپی ۱۸، صص ۱۱۵-۱۳۷.
- هنربخش، ا، نیازی، آ، سلطانی، ا، و طهماسبی، ص، ۱۳۹۸. مدل‌سازی رابطه میزان رسوبات معلق و ویژگی‌های هیدرولوژیکی و محیطی حوضه (مطالعه موردی: حوضه سد دز)، پژوهش‌های ژئومورفولوژی کمی، سال ۸، شماره ۱، صص ۱۰۵-۱۱۷.
- محجوب، ا، کیلانه‌ئی، ف، منصورزاده، م، ۱۳۹۷. مقایسه مدل‌های سه‌بعدی شبیه‌سازی جریان و رسوب، فصلنامه علمی ترویجی جاده، دوره ۲۶، شماره ۹۵، صص ۳۵-۴۶.
- ناصری، ف، آذری، م، و دستارانی، م. ت. ۲۰۱۸. بهینه سازی ضرایب معادله سنجه رسوب با استفاده از الگوریتم ژنتیک (مطالعه موردی: ایستگاه‌های قزلقلی و باغ عباسی)، مهندسی آبیاری و آب ایران، دوره ۹، شماره ۳۵، صص ۸۲-۹۷.
- *FLUENT Inc. (2006). FLUENT 6.3. Users and Tutorial Guide Manual , Lebanon, USA.*
- *Francesco, S., Manciola, P. (2009). CFD Modelling Approach for Dam Break Flow Studies, Journal of Hydrology and Earth System Sciences, 6, 6759-6793.*
- *Iqbal, M., Ghuman, A. R., Haider, S., Hashmi, H. N., & Khan, M. A. (2019). Application of Godunov type 2D model for simulating sediment flushing in a reservoir. Arabian Journal for Science and Engineering, 44(5), 4289-4307.*
- *Keane, T. D., Sass, C.K. (2017). Channel Evolution Models as Predictors of Sediment Yield, Journal of the American Water Resources Association, 53(6), 1513-1529.*
- *Lai, Y. G., & Wu, K. (2019). A Three-Dimensional Flow and Sediment Transport Model for Free-Surface Open Channel Flows on Unstructured Flexible Meshes. Fluids, 4(1), 18.*
- *Ouda, M. (2019). Multiphase Modelling of Sediment Transport and Bed Erosion for the Study of Coastal Morphodynamics. (KU Leuven, Technology Campus Brugge, Belgium) October 2019 .*